

Синтез систем регулирования методом линейно-квадратичной аппроксимационной коррекции

А. Б. Филимонов

МИРЭА – Российский технологический университет
E-mail: filimon_ab@mail.ru

Н. Б. Филимонов

Московский государственный университет
им. М.В. Ломоносова
E-mail: nbfilimonov@mail.ru

Аннотация. Разрабатывается методология аппроксимационной коррекции управляемых динамических систем. Желаемый результат коррекции задается эталонной моделью. В предлагаемых схемах динамической коррекции применяется формализм линейно-квадратичной оптимизации. В предлагаемых схемах динамической коррекции применяется формализм линейно-квадратичной оптимизации, в котором оптимизируемые интегральные квадратичные критерии служат мерой отклонения переходных характеристик скорректированного объекта от их эталонных значений. Посредством предложенных схем коррекции решается задача синтеза систем регулирования с заданными прямыми показателями качества.

Ключевые слова: синтез систем управления; качество управления; динамическая коррекция; эталонная модель; линейно-квадратичная оптимизация

1. ВВЕДЕНИЕ

Проблема качества процессов управления, несмотря на давнюю историю развития, до сих пор остается важнейшей и слабо развивающейся в теории и практике автоматических систем. Более того, приходится констатировать, что в исследованиях последних десятилетий в известной мере утрачена преэминентность с интуитивно ясными и технически содержательными классическими представлениями о качестве процессов управления, выработанными отечественной школой автоматики [1].

В современной автоматике при синтезе автоматических систем все большую популярность находят требования не желаемого или допустимого, а оптимального качества процесса управления синтезируемой системы [2–10]. При этом наибольшее применение безраздельное господство получили квадратичные критерии оптимальности, породившие класс линейно-квадратичных (ЛК) задач управления и являющиеся исходными в ставшем уже классическим методе аналитического конструирования оптимальных регуляторов (АКОР) Калмана-Летова. Здесь критерий качества задается в виде интегральной квадратичной формы от тех или иных показателей действительного переходного процесса, либо от невязки (рассогласования) действительного и желаемого (эталонного) переходных процессов системы и требуется обеспечить максимальную их близость (см., например, [11–19]).

Однако, несмотря на чрезвычайную популярность и видимые достоинства, методология квадратичной оптимизации процессов управления неоднократно подвергалась резкой критике со стороны ведущих отечественных и зарубежных ученых [2].

В настоящей работе предлагается новый метод синтеза систем автоматического регулирования (САР), основанный на динамической коррекции объекта управления [20–24], которая осуществляется посредством применения формализма ЛК-задач оптимизации. В основе решаемой задачи коррекции лежит идея постулирования желаемых динамических свойств синтезируемой системы в виде заданной эталонной модели скорректированного объекта. Алгоритмизация задач коррекции базируется на формализме ЛК-задач управления, причем оптимизируемые интегральные квадратичные функционалы служат мерой отклонения формируемых переходных характеристик каналов регулирования от эталонных значений. Предлагаемый метод показывает возможность конвергенции классической концепции прямых показателей качества процессов регулирования и методологии АКОР.

2. НАЗНАЧЕНИЕ АППРОКСИМАЦИОННОЙ КОРРЕКЦИИ

Один из действенных способов решения задач управления заключается в их *декомпозиции* на две подзадачи: предварительной динамической коррекции объекта и формирования закона управления для скорректированного объекта. Данную идею воплощает блок-схема САУ, представленная на рис. 1. Здесь управляющее устройство (УУ) состоит из двух блоков: *блока коррекции* (БК), исправляющего динамику объекта в соответствии с заданной эталонной динамической моделью, и *блока управления* (БУ), реализующего закон управления для скорректированного объекта.

Далее рассматривается класс линейных стационарных динамических объектов, описываемых в переменных состояния уравнениями вида

$$\dot{\mathbf{x}} = \mathbf{A}_0 \mathbf{x} + \mathbf{B}_0 \mathbf{u}, \quad (1)$$

$$\mathbf{y} = \mathbf{C}_0 \mathbf{x}, \quad (2)$$

где $t \geq 0$, $\mathbf{u} \in \mathbf{R}^r$ – управляющий вход, $\mathbf{x} \in \mathbf{R}^n$ – состояние, $\mathbf{y} \in \mathbf{R}^m$ – управляемый выход объекта, причем полагаем, что $1 < m \leq r$, $\mathbf{A}_0 \in \mathbf{R}^{n \times n}$, $\mathbf{B}_0 \in \mathbf{R}^{n \times r}$, $\mathbf{C}_0 \in \mathbf{R}^{m \times n}$.

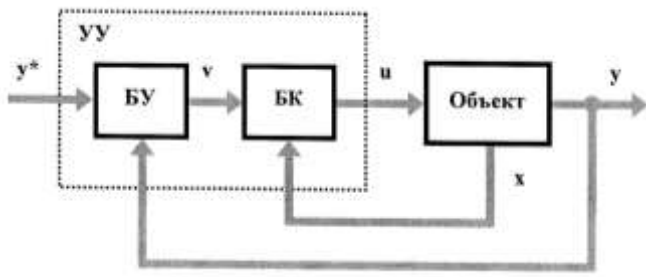


Рис. 1.

Передаточная матрица объекта по каналу «вход – выход» равна

$$W_0(s) = C_0(E_n s - A_0)^{-1} B_0,$$

где s – комплексная частота, E_n – единичная матрица n -го порядка.

Назначение САУ – отработка уставки $y^*(t)$:

$$y(t) \approx y^*(t),$$

в соответствии с заданными требованиями качества процессов управления.

Действие БК будем оценивать по реакции скорректированного объекта на тестовый сигнал

$$v(t) = v(0) \neq 0 \quad (t > 0). \quad (3)$$

Полагаем, что данный сигнал генерируется *задатчиком*, описываемым дифференциальным уравнением

$$\dot{v} = 0.$$

Желаемую динамику выхода скорректированного объекта зададим *эталонной моделью* (ЭМ) порядка n_M :

$$\dot{x}_M = A_M x_M + B_M v, \quad (4)$$

$$y_M = C_M x_M + D_M v, \quad (5)$$

где $x_M \in \mathbf{R}^{n_M}$ – состояние, $y_M \in \mathbf{R}^m$ – выход эталонной модели; A_M , B_M , C_M , D_M – числовые матрицы соответствующих размеров.

Полагаем, что ЭМ устойчива, так что реакция выхода на постоянное входное воздействие (3) устанавливается на постоянном уровне, т.е.

$$\lim_{t \rightarrow \infty} \dot{y}_M(t) = 0.$$

Расхождение между выходом скорректированного объекта и выходом эталонной модели выражает *невязка*

$$\delta y(t) = y(t) - y_M(t).$$

Динамическая коррекция объекта должна обеспечить требование:

$$\delta y(t) \approx 0. \quad (6)$$

Введем малый положительный параметр γ :

$$0 < \gamma \ll 1. \quad (7)$$

Точность приближения (6) будем оценивать следующим интегральным квадратичным критерием (здесь $\| \dots \|$ обозначает евклидову норму вектора):

$$J_y^\gamma = \int_0^\infty e^{-2\gamma t} \|\delta y(t)\|^2 dt, \quad (8)$$

а интенсивность управляющих воздействий – критерием

$$J_u^\gamma = \int_0^\infty e^{-2\gamma t} \|u(t)\|^2 dt. \quad (9)$$

Весовой множитель $e^{-2\gamma t}$ обеспечивает сходимость функционалов (8) и (9) для класса *ограниченных* функций, позволяя рассматривать установившиеся режимы в САУ с *ненулевой* асимптотикой процессов $\delta y(t)$ и $u(t)$.

Задачу синтеза БК можно формализовать посредством ограничения или минимизации критериев (8), (9). В наиболее общей постановке это будет задача двухкритериальной оптимизации вида ($g > 0$):

$$J^\gamma = g J_y^\gamma + J_u^\gamma \rightarrow \min,$$

или то же самое, но с учетом (8), (9):

$$J^\gamma = \int_0^\infty e^{-2\gamma t} (g \|\delta y(t)\|^2 + \|u(t)\|^2) dt \rightarrow \min. \quad (10)$$

Оптимизационный аспект структурно-параметрического синтеза БК показывает, что рассматриваемый тип динамической коррекции объекта по своему смыслу является *аппроксимационным*.

III. ЭКВИВАЛЕНТНАЯ СТАЦИОНАРНАЯ ЛИНЕЙНО-КВАДРАТИЧНАЯ ЗАДАЧА

Предлагаемую структуру БК отражает рис. 2.

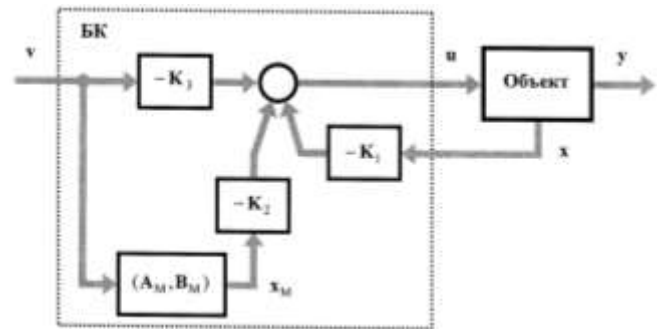


Рис. 2.

Рассмотрим систему S порядка $N = n + n_M + m$:

$$\dot{x} = A_0 x + B_0 u, \quad (13)$$

$$\dot{\mathbf{x}}_M = \mathbf{A}_M \mathbf{x}_M + \mathbf{B}_M \mathbf{v}, \quad (14)$$

$$\dot{\mathbf{v}} = 0, \quad (15)$$

$$\delta \mathbf{y} = \mathbf{C}_0 \mathbf{x} - \mathbf{C}_M \mathbf{x}_M - \mathbf{D}_M \mathbf{v}. \quad (16)$$

Она описывает динамику состояний объекта и эталонной модели, формирование сигналов $\mathbf{v}(t)$ и $\delta \mathbf{y}(t)$.

Сформируем вектор состояния системы \mathbf{S} :

$$\mathbf{z} = \begin{bmatrix} \mathbf{x} \\ \mathbf{x}_M \\ \mathbf{v} \end{bmatrix}. \quad (17)$$

Тогда уравнения (13)–(16) можно записать в форме:

$$\dot{\mathbf{z}} = \mathbf{A} \mathbf{z} + \mathbf{B} \mathbf{u}, \quad (18)$$

$$\delta \mathbf{y} = \mathbf{C} \mathbf{z}. \quad (19)$$

В соответствии с (17) матрицы \mathbf{A} , \mathbf{B} , \mathbf{C} имеют блочную структуру (нулевые блоки оставлены пустыми), представленную следующими выражениями:

$$\mathbf{A} = \begin{bmatrix} \mathbf{A}_0 & & \\ & \mathbf{A}_M & \mathbf{B}_M \\ & & \end{bmatrix}, \quad \mathbf{B} = \begin{bmatrix} \mathbf{B}_0 \\ & & \end{bmatrix},$$

$$\mathbf{C} = [\mathbf{C}_0 \quad -\mathbf{C}_M \quad -\mathbf{D}_M].$$

Закон управления (11) представим в виде

$$\mathbf{u} = -\mathbf{K} \mathbf{z}, \quad (20)$$

где в соответствии с (17) \mathbf{K} – блочная матрица:

$$\mathbf{K} = [\mathbf{K}_1 \quad \mathbf{K}_2 \quad \mathbf{K}_3]. \quad (21)$$

Из (19) следует равенство

$$g \|\delta \mathbf{y}\|^2 = \mathbf{z}^T \mathbf{Q} \mathbf{z}, \quad (22)$$

где \mathbf{Q} – симметрическая неотрицательно определенная матрица:

$$\mathbf{Q} = g \mathbf{C}^T \mathbf{C} \quad (23)$$

Используя (22), преобразуем критерий (10) к виду

$$J^\gamma = \int_0^\infty e^{-2\gamma t} (\mathbf{z}^T(t) \mathbf{Q} \mathbf{z}(t) + \|\mathbf{u}(t)\|^2) dt \rightarrow \min. \quad (24)$$

Рассмотрим вспомогательную систему $\hat{\mathbf{S}}$:

$$\dot{\hat{\mathbf{x}}} = (\mathbf{A}_0 - \gamma \mathbf{E}_n) \hat{\mathbf{x}} + \mathbf{B}_0 \hat{\mathbf{u}}, \quad (25)$$

$$\dot{\hat{\mathbf{x}}}_M = (\mathbf{A}_M - \gamma \mathbf{E}_{n_M}) \hat{\mathbf{x}}_M + \mathbf{B}_M \hat{\mathbf{v}}, \quad (26)$$

$$\dot{\hat{\mathbf{v}}} = -\gamma \hat{\mathbf{v}}, \quad (27)$$

где $\hat{\mathbf{x}} \in \mathbf{R}^n$, $\hat{\mathbf{x}}_M \in \mathbf{R}^{n_M}$, $\hat{\mathbf{v}} \in \mathbf{R}^m$, $\hat{\mathbf{u}} \in \mathbf{R}^r$ – управляющий вход.

Вводя вектор состояние системы $\hat{\mathbf{S}}$:

$$\hat{\mathbf{z}} = \begin{bmatrix} \hat{\mathbf{x}} \\ \hat{\mathbf{x}}_M \\ \hat{\mathbf{v}} \end{bmatrix},$$

из (25)–(27) получим ее уравнения состояния в виде

$$\dot{\hat{\mathbf{z}}} = \hat{\mathbf{A}} \hat{\mathbf{z}} + \hat{\mathbf{B}} \hat{\mathbf{u}}, \quad (28)$$

где

$$\hat{\mathbf{A}} = \mathbf{A} - \gamma \mathbf{E}_N. \quad (29)$$

Из (29) следует, что спектр системы $\hat{\mathbf{S}}$ получается сдвигом спектра системы \mathbf{S} влево на малую величину (7).

Установим связь между динамическими процессами в системах \mathbf{S} и $\hat{\mathbf{S}}$.

Предложение 1. Система \mathbf{S} приводится к системе $\hat{\mathbf{S}}$ посредством следующей замены переменных:

$$\mathbf{z}(t) = e^{\gamma t} \hat{\mathbf{z}}(t), \quad \mathbf{u}(t) = e^{\gamma t} \hat{\mathbf{u}}(t). \quad (30)$$

Таким образом, соотношения (30) устанавливают взаимно однозначное соответствие между управляемыми движениями систем \mathbf{S} и $\hat{\mathbf{S}}$.

Подстановка выражений (30) в критерий (24) приводит к оптимизационной задаче для системы $\hat{\mathbf{S}}$:

$$J^0 = \int_0^\infty (\hat{\mathbf{z}}^T(t) \mathbf{Q} \hat{\mathbf{z}}(t) + \|\hat{\mathbf{u}}(t)\|^2) dt \rightarrow \min. \quad (31)$$

Отсюда вытекает следующее предложение.

Предложение 2. Исходная задача ЛК-оптимизации процессов управления (24) в системе \mathbf{S} эквивалентна стационарной задаче ЛК-оптимального управления системой $\hat{\mathbf{S}}$ по критерию (31).

Отметим, что закон управления (20) для системы \mathbf{S} с помощью соотношений (30) преобразуется в закон управления для системы $\hat{\mathbf{S}}$:

$$\hat{\mathbf{u}} = -\hat{\mathbf{K}} \hat{\mathbf{z}}. \quad (32)$$

Предложение 3. Если объект (1), (2) является вполне управляемым, эталонная модель (4), (5) – устойчива, то оптимизационная задача (10) разрешима.

Обоснуем данное предложение. В силу предложения 2 вопрос разрешимости оптимизационной задачи (18), (24) сводится к вопросу разрешимости задачи (28), (31). Заметим, что система $\hat{\mathbf{S}}$ состоит из трех подсистем, представленных уравнениями (25)–(27). Из полной управляемости объекта следует, что подсистема (25) вполне управляема. Подсистемы (26), (27) хотя и неуправляемы, но являются устойчивыми. Таким образом, система $\hat{\mathbf{S}}$ стабилизируе-

ма, т.е. посредством действия стабилизирующих обратных связей возможно добиться ее устойчивости. В этом случае функционал в (31) будет принимать конечные значения, что гарантирует существование оптимума (10).

Замечание. Приведем еще одно соображение в пользу излагаемого подхода к формализации задачи динамической коррекции - применении критериев качества (8), (9) с параметризацией (7) и последующем сведении исходной оптимизационной задачи к эквивалентной стационарной ЛК-задаче.

Пусть время установления переходных процессов в скорректированном объекте не превышает величины T , причем $\gamma T \ll 1$. Сравним движения систем \mathbf{S} и $\hat{\mathbf{S}}$, полагая, что их начальные состояния совпадают:

$$\hat{\mathbf{z}}(0) = \mathbf{z}(0).$$

Сравнение уравнений (13)–(15) и (25)–(27) показывает, что управляемые динамические процессы в системах \mathbf{S} и $\hat{\mathbf{S}}$ практически не будут отличаться на временном интервале $0 < t \leq T$. В частности, согласно (27) сигнал $\hat{\mathbf{v}}(t)$ является экспоненциальным

$$\hat{\mathbf{v}}(t) = \hat{\mathbf{v}}(0) \exp(-\gamma t),$$

но в силу (7) это – *слабозатухающий* (т.е. *квазистационарный*) сигнал, который практически совпадает с постоянным сигналом (3) при $0 < t \leq T$.

IV. РЕДУКЦИЯ ЗАДАЧ РЕГУЛИРОВАНИЯ НА ОСНОВЕ СХЕМ АППРОКСИМАЦИОННОЙ КОРРЕКЦИИ

Решение стационарной ЛК-задачи (28), (31) дает линейный закон управления (32) с матрицей \mathbf{K} вида

$$\mathbf{K} = \mathbf{B}^T \mathbf{P},$$

где $\mathbf{P} \in \mathbf{R}^{N \times N}$ – симметрическая матрица, являющаяся решением алгебраического матричного уравнения Риккати

$$\mathbf{P} \mathbf{B} \mathbf{B}^T \mathbf{P} - \mathbf{P} \mathbf{A} - \hat{\mathbf{A}}^T \mathbf{P} - \mathbf{Q} = 0.$$

Разбивая полученную матрицу \mathbf{K} согласно (21) на блоки размеров $r \times n$, $r \times n_M$ и $r \times m$, находим искомые матричные параметры \mathbf{K}_1 , \mathbf{K}_2 и \mathbf{K}_3 БК (11), (12).

Необходимая настройка БК осуществляется посредством подходящего выбора весового коэффициента g в структуре весовой матрицы (23).

Построение САУ по схеме динамической коррекции каналов управления (рис. 1) позволяет упростить задачу регулирования – она решается применительно к эталонной модели скорректированного объекта. Если же динамический порядок эталонной модели меньше порядка модели, т.е. $n_M < n$, то динамическая коррекция объекта порождает еще один благоприятный эффект – снижение размерности задачи регулирования.

Пример. Параметры объекта: $n = 3$, $m = r = 1$;

$$\mathbf{A}_0 = \begin{bmatrix} 0 & 1 & 0 \\ 0 & -0,5 & 1 \\ 0 & 0 & -1 \end{bmatrix}, \quad \mathbf{B}_0 = \begin{bmatrix} 0 \\ 0 \\ 1 \end{bmatrix}, \quad \mathbf{C}_0 = [1,5 \ 0 \ 0].$$

Его передаточная функция

$$W_0(s) = \mathbf{C}_0 (\mathbf{E}_n s - \mathbf{A}_0)^{-1} \mathbf{B}_0 = \frac{3}{s(s+1)(2s+1)}.$$

Примем следующую эталонную модель динамики скорректированного объекта:

$$W_M(s) = \frac{2s+1}{(s+1)^2}.$$

Приведем результаты расчета параметров БК для ряда вариантов значений весового коэффициента g :

- 1) $g = 10^2$: $\mathbf{K}_1 = [15.00 \ 10.08 \ 3.60]$,
 $\mathbf{K}_2 = [-2.77 \ -0.53]$, $K_3 = -7.94$;
 $\Lambda = \{-1.00, -1.00, -1.27 \pm 2.06i, -2.55\}$;
- 2) $g = 10^3$: $\mathbf{K}_1 = [47.43 \ 22.99 \ 5.85]$,
 $\mathbf{K}_2 = [-13.35 \ -4.23]$, $K_3 = -22.16$;
 $\Lambda = \{-1.00, -1.00, -1.84 \pm 3.09i, -3.68\}$;
- 3) $g = 10^4$: $\mathbf{K}_1 = [150.00 \ 51.57 \ 9.20]$,
 $\mathbf{K}_2 = [-55.94 \ -21.60]$, $K_3 = -55.80$;
 $\Lambda = \{-1.00, -1.00, -2.68 \pm 4.57i, -5.35\}$;
- 4) $g = 10^5$: $\mathbf{K}_1 = [474.3 \ 114.3 \ 14.2]$,
 $\mathbf{K}_2 = [-213.6 \ -91.2]$, $K_3 = -132.8$;
 $\Lambda = \{-1.00, -1.00, -3.91 \pm 6.73i, -7.83\}$.

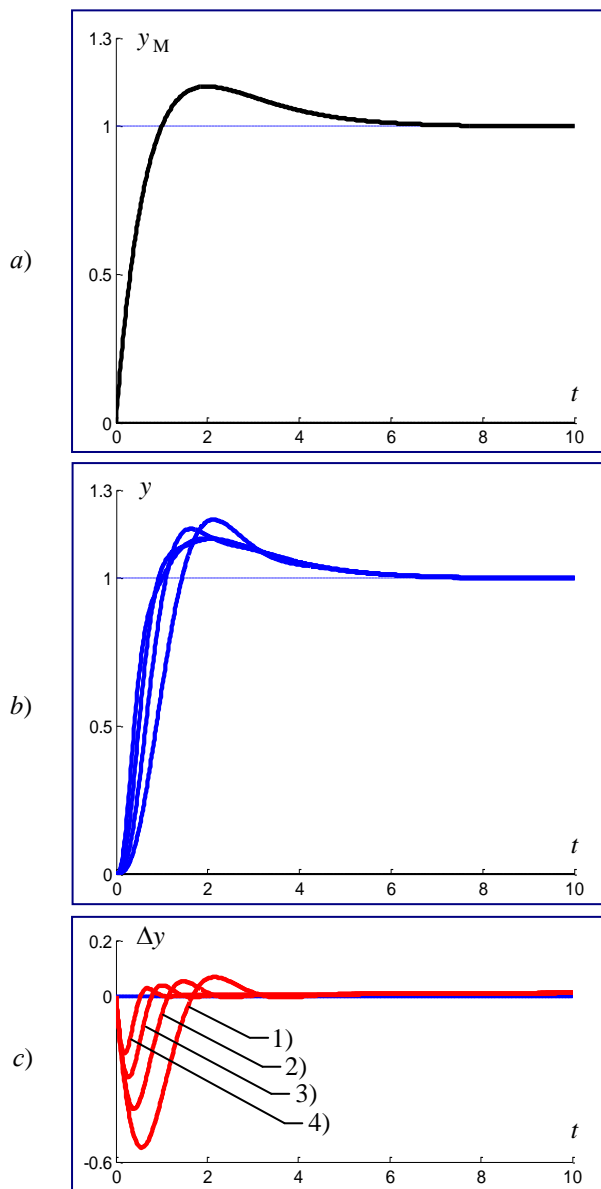


Рис. 3.

Рис. 3 иллюстрирует результат динамической коррекции. На нем представлены переходные характеристики скорректированного объекта и эталонной модели, т.е. их реакции $y(t)$ и $y_M(t)$ на единичную ступеньку: $v=1(t)$. Видно, что фактическая переходная характеристика близка к эталонной.

СПИСОК ЛИТЕРАТУРЫ

- [1] Солодовников В.В., Филимонов Н.Б. Динамическое качество систем автоматического регулирования. М.: МВТУ им. Н.Э. Баумана, 1987.
- [2] Филимонов Н.Б. Проблема качества процессов управления: смена оптимизационной парадигмы // Мехатроника, автоматизация, управление. 2010. № 12. С. 2-11.
- [3] Справочник по теории автоматического управления / Под ред. А.А. Красовского. М.: Наука, 1987.
- [4] Методы классической и современной теории автоматического управления. В 5-ти тт. Т. 4. Теория оптимизации систем автоматического управления / Под ред. К.А. Пупкова и Н.Д. Егупова. М.: Изд-во МГТУ им. Н.Э. Баумана, 2004.
- [5] Hocking L.M. Optimal Control: An Introduction to the Theory and Applications, Oxford University Press, New York, 1991.
- [6] Stengel R. Optimal Control and Estimation, Dover Publications, 1994.
- [7] Sontag E.D. Mathematical Control Theory: Deterministic Finite Dimensional Systems, Springer, 1998.
- [8] Mutambara A. Design and Analysis of Control Systems, Boca Raton, FL: CRC Press, 1999.
- [9] Locatelli A. Optimal Control: An Introduction, Birkhauser, Boston, MA, 2001.
- [10] Goebel R. Stabilizing a linear systems with saturation through optimal control, IEEE Trans. Autom. Control, vol. 50, no. 5, pp. 650–655, May 2005.
- [11] Johnson M.A., Grimble M.J. Recent Trends in Linear Optimal Quadratic Multivariable Control Systems Design, IEEE-review, vol. 134, pp. 53-71, 1987.
- [12] Cao Y., Ren W. Optimal linear-consensus algorithms: An LQR perspective, IEEE Transactions on Systems, Man, and Cybernetics, Part B (Cybernetics), vol. 40, no. 3, pp. 819–830, June 2010.
- [13] Mehrmann V. The Linear Quadratic Control Problem: Theory and Numerical Algorithms, Habilitationsschrift, Universität Bielefeld. 1988.
- [14] Dorato P., Abdallah C., Cerone V. Linear-Quadratic Control: An Introduction, Prentice Hall, Englewood Cliffs, NY, 1995.
- [15] Sima V. Algorithms for Linear-Quadratic Optimization, Marcel Dekker, Inc., New York, NY, 1996.
- [16] Anderson B.D.O., Moore J.B. Optimal Control: Linear Quadratic Methods, Prentice Hall, Englewood Cliffs, New Jersey, Dover Publications, 2007.
- [17] Alt W., Schneider C. Linear-quadratic control problems with L1-control cost. Optimal Control Applications and Methods, vol. 36, pp. 512-534, 2015.
- [18] Montenbruck J.M., Schmidt G.S., Seyboth G.S., Allgöwer F. On the necessity of diffusive couplings in linear synchronization problems with quadratic cost, IEEE Transactions on Automatic Control, vol. 60, no. 11, pp. 3029–3034, Nov 2015.
- [19] Nguyen D.H. Reduced-order distributed consensus controller design via edge dynamics, IEEE Transactions on Automatic Control, vol. 62, no. 1, pp. 475–480, Jan 2017.
- [20] Солодовников В.В., Филимонов А.Б., Филимонов Н.Б. Аналитическое конструирование оптимальных регуляторов методом фазового пространства. Ч. I. Объекты с одномерным управляющим входом // Изв. вузов. Приборостроение. 1982. № 6. С. 23-27.
- [21] Солодовников В.В., Филимонов А.Б., Филимонов Н.Б. Аналитическое конструирование оптимальных регуляторов методом фазового пространства. Ч. II. Многосвязное регулирование // Изв. вузов. Приборостроение. 1982. № 8. С. 28-32.
- [22] Филимонов А.Б., Филимонов Н.Б. Динамическая коррекция процессов регулирования методом линейно-квадратичной оптимизации // Мехатроника, автоматизация, управление. 2011. № 5. С. 9-14.
- [23] Филимонов А.Б., Филимонов Н.Б. Аппроксимационная формализация обратных задач динамики в процессах управления // Проблемы управления и моделирования в сложных системах: Труды XIV Международной конференции. Самара: Самарский НЦ РАН, 2012. С. 546-549.
- [24] Филимонов А.Б., Филимонов Н.Б. Метод динамической развязки каналов управления на основе формализма линейно-квадратичной оптимизации // Материалы конференции «Управление в технических, эргатических, организационных и сетевых системах» СПб.: ГНЦ РФ ОАО «Концерн «ЦНИИ «Электроприбор», 2012. С. 827-830.
- [25] Филимонов А.Б., Филимонов Н.Б. Метод динамической коррекции и автономизации каналов управления в многосвязных системах на основе формализма линейно-квадратичной оптимизации // Мехатроника, автоматизация, управление. 2012. № 12. С. 2-6.